

METORIKA TALOŽNIH PROCESA. III.
»KOMPLEKSNA« TOPLJIVOST SREBRNOG RODANIDA
U VODENIM OTOPINAMA KALIJEVOG RODANIDA
I SREBRNOG NITRATA

V. Stubičan i B. Težak

Ponašanje taložnog sistema $\text{AgNO}_3\text{-KCNS}$ u vodenim otopinama veoma je slično ponašanju sistema $\text{AgNO}_3\text{-KHal}$. Na njemu se mogu studirati ne samo pojave taloženja, koagulacije i svih faktora koji utječu na koloidnu disperziju, već i stvaranje »kompleksnih« spojeva, koji su naročito interesantni radi proučavanja jonskog djelovanja, kao i za rasvjetljavanje područja kemijske veze.

Za ispitivanje kompleksnih spojeva dolaze u obzir slijedeće metode: topljivost, sniženje ledišta, povišenje vrelista, ispitivanje vodljivosti, prenosnog broja, mjerjenje potencijala i t. d.

Mi smo izabrali metodu topljivosti, jer nam poznavanje koncentracija, kod kojih nestaje kruta faza, daje djelomičnu mogućnost zaključivanja na karakteristične odnose među prisutnim jonima, kao i na faktore, koji uvjetuju razaranje kristalne rešetke.

Poznato je, da se AgCNS otapa u suvišku KCNS ili AgNO_3 . Određivanje topljivosti srebrnog rodanida u kalijevom rodanidu izvršili su djelomično Hellwig¹⁾, Occleshaw²⁾ i Randall³⁾. Mi smo nadopunili njihova određivanja upotrebivši niže koncentracije srebrnog rodanida, a djelomično smo obuhvatili i ona područja, koja su obrađena po gornjim autima, da bi provjerili našu eksperimentalnu metodiku.

Topljivost srebrnog rodanida u vodenim otopinama srebrnog nitrata nije još bila predmetom ispitivanja, pa smo je djelomično odredili.

Ovaj je rad međutim dio rezultata dobivenih na ispitivanju karakteristika taložnog sistema $\text{AgNO}_3\text{-KCNS}$.

¹⁾ Hellwig: Z. anorg. Chem., 25, 166—83 (1900), prema: A. Seideli, Solubilities of inorganic and metal organic compounds (1940) Vol. I, str. 30, 58.

²⁾ V. Occleshaw: J. Chem. Soc. 1932, 2407.

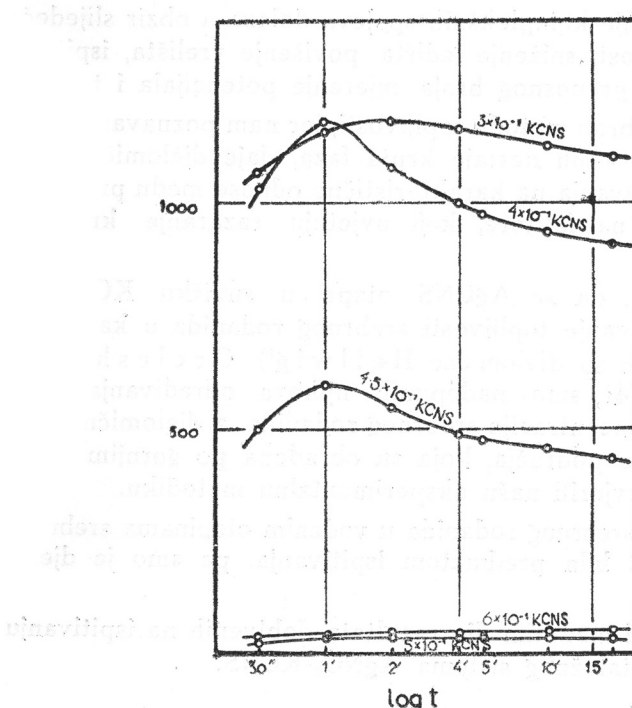
³⁾ Randall M. and Haeford J. O.: J. Amer. chem. Soc., 52, 189 (1930).

EKSPERIMENTALNI DIO

Metoda mjerena i nalaženje granice sistema s kristalnom fazom prema »kompleksnoj« topljivosti.

Topljivost je bila određena tindalometrijskom metodom. Dodavanjem otopini srebrnog nitrata poznate i rastuće količine kalijevog rodanida odredili smo ekstrapolacijom koncentraciju kod koje ne dobivamo više tindalov efekt. Na isti smo način odredili topljivost srebrnog rodanida u srebrnom nitratu dodavajući otopini kalijevog rodanida poznate i rastuće količine srebrnog nitrata.

Mjerenje bilo je izvedeno na ovaj način: u epruvetama od 15 mm promjera otpipetirano je 5 ml. otopine srebrnog nitrata jednake koncentracije. Posebno je otpipetirano 5 ml. otopine kalijevog rodanida rastućih koncentracija. Odgovarajuće oto-



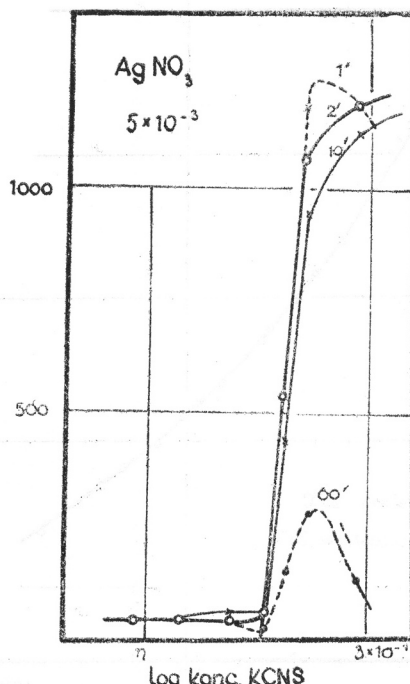
Sl. 1. Relativne mutnoće u zelenom svjetlu u odnosu prema logaritmu vremena. Koncentracija srebrnog nitrata $5,0 \cdot 10^{-3}$ mol/l, rastuće koncentracije kalijevog rodanida.

Fig. 1. Relative turbidity in green light in relation to the logarithm of time. Concentration of silver nitrate: $5,0 \cdot 10^{-3}$ M/litre with increasing concentration of potassium sulphocyanide.

pine srebrnog nitrata i kalijevog rodanida pomiješane su na približno jednak način i izvršeno je mjerjenje relativne mutnoće svakog sistema u 30 sekunda i 1, 2, 4, 5, 10, 20, 60 minuta s Pulfrichovim fotometrom u kombinaciji sa Zeissovim nefelometrom, dok je temperatura od 20°C držana konstantnom pomoću Hoeplerovog termostata u granicama od $\pm 0,1^{\circ}$.

Na slici 1 imamo dvije vrsti krivulja, krivulje za one koncentracije kalijevog rodanida, kod kojih je relativna mutnoća približno 30 (tu mutnoću pokazuje i destilirana voda, uz upotrebu filtra s optičkim područjem oko $530 \mu\text{m}$) i krivulje visoke mutnoće za koncentracije kalijevog rodanida, kod kojih je nastupilo taloženje. Učinimo li presjeke kroz jednaka vremena, dobivamo krivulje prikazane na sl. 2.

Dobivene krivulje pokazuju linearan pad mutnoće kod većih koncentracija kalijevog rodanida.

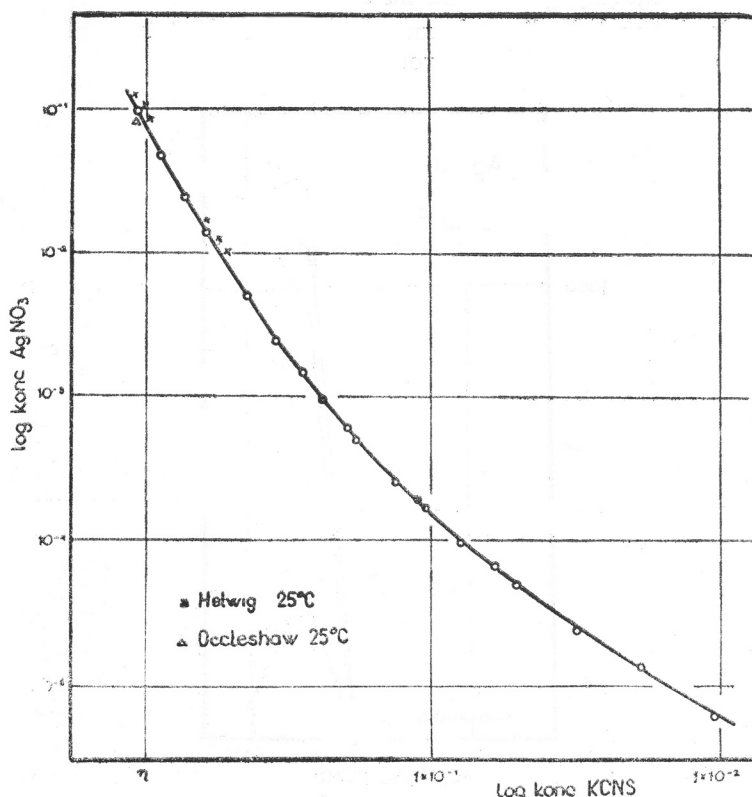


Sl. 2. Relativne mutnoće u zelenom svijetlu u ovisnosti o logaritmu koncentracije kalijevog rodanida u 1, 2, 10 i 60 minuta. Koncentracija srebrnog nitrata $5,0 \cdot 10^{-3} \text{ mol/l}$.

Fig. 2. Relative turbidity in green light in relation to the logarithm of concentration of potassium sulphocyanide in 1, 2, 10 and 60 minutes. Concentration of silver nitrate: $5,0 \cdot 10^{-3} \text{ M/litre}$.

Postavlja se međutim problem odabiranja vremena, kod kojega ćemo izvršiti ekstrapolaciju mutnoće na vrijednost nula. Kod većih koncentracija reakcionih komponenata razna vremena nam daju istu ekstrapolacionu vrijednost, međutim to se ne događa uvijek. Odabiranje tog vremena moramo povezati s karakteristikama dotičnog taloga t. j. sa brzinom rasta čestica i sa njihovom stabilnošću. U našem slučaju čestice taloga brzo rastu i brzo sedimentiraju. Mi smo kod onih koncentracija, kod kojih se ekstrapolacione vrijednosti za razna vremena ne poklapaju, uzeli kao mjerodavno ono vrijeme, kod kojega su čestice već potpuno izrasle, da nisu počele sedimentirati.

8/3

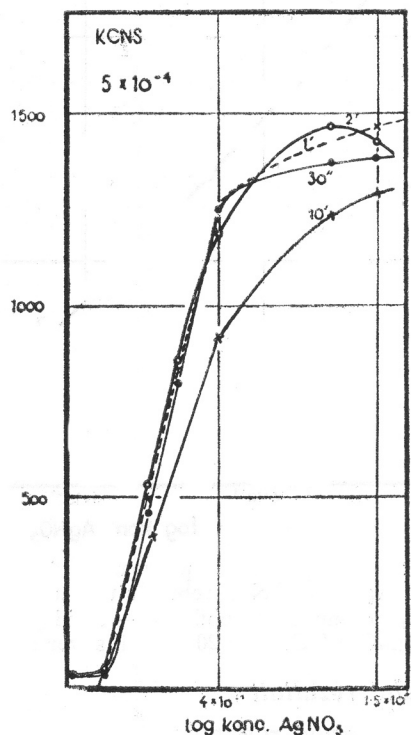


Sl. 3. Granica između »kompleksne topljivosti« i izlučivanja krute fazе za taložni sistem $\text{AgNO}_3\text{-KCNS}$, kalijev rodanid u suvišku kod 20°C .

Fig. 3. The boundary: »complex solubility« — solid phase for the precipitation system $\text{AgNO}_3\text{-KCNS}$ at 20°C with potassium sulphocyanide in excess.

Tindalov efekt praćen je do 60 minuta, pa smo na taj način kontrolirali, da nam u prvo vrijeme bistre otopine ne bi naknadno pokazale izvjestan efekt.

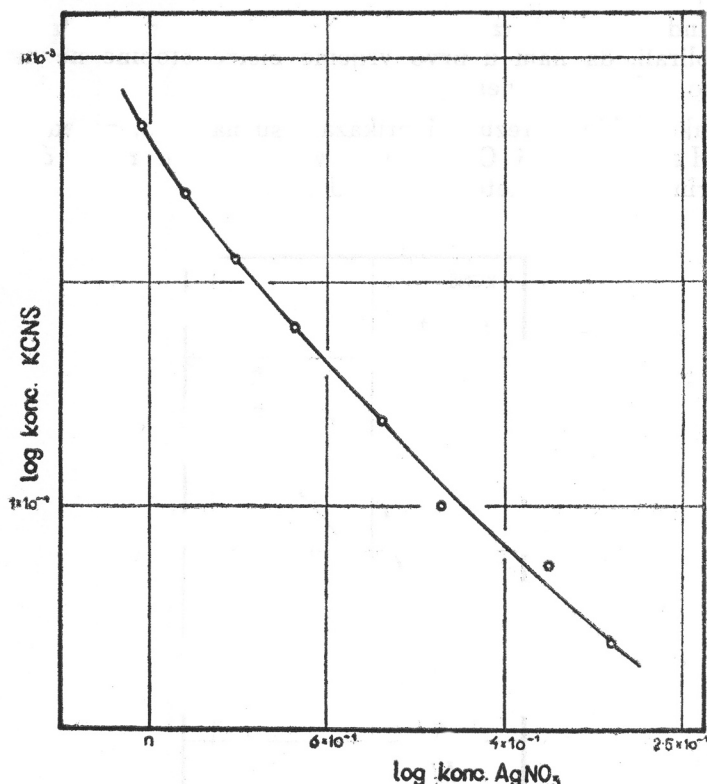
Tako dobiveni rezultati prikazani su na sl. 3, pored rezultata Hellwiga¹ i Occleshawa², koji su radili drugom eksperimentalnom metodikom kod 25°C.



Sl. 4. Relativne mutnoće u zelenom svjetlu u ovisnosti o logaritmu koncentracije srebrnog nitrata. Koncentracija kalijevog rodanida $5 \cdot 10^{-4}$ mol/l.
Fig. 4. Relative turbidity in green light in relation to the logarithm of concentration of silver nitrate. Concentration of potassium sulphocyanide $5 \cdot 10^{-4}$ M/litre.

Na isti smo način odredili topljivost srebrnog rodanida u srebrnom nitratu. I u ovom smo slučaju mogli upotrijebiti ekstrapolacionu metodu u koncentracionom području, u kojem smo radili, kako je to prikazano na slici 4.

Rezultati, koje smo dobili prikazani su na slici 5.



Sl. 5. Granica između »kompleksne topljivosti« i izlučivanja krute faze za taložni sistem $\text{AgNO}_3\text{-KCNS}$, srebrni nitrat u suvišku kod 20°C .
 Fig. 5. The boundary: »complex solubility« — solid phase of the precipitation system $\text{AgNO}_3\text{-KCNS}$ at 20°C with silver nitrate in excess.

Eksperimentalni rezultati

a) topljivost srebrnog rodanida u vodenim otopinama kalijevog rodanida za 20°C

AgCNS mol/l	KCNS	AgCNS mol/l	KCNS
0.10	1.000	0.00070	0.233
0.050	0.840	0.00050	0.200
0.025	0.707	0.00025	0.150
0.015	0.615	0.00020	0.105
0.010	0.540	0.00015	0.094
0.005	0.441	0.00010	0.080
		0.00007	0.056
0.0025	0.352	0.00005	0.050
0.0015	0.281	0.000025	0.025
0.0010	0.259	0.000013	0.019
		0.000007	0.010

b) topljivost srebrnog rodanida u vodenim otopinama srebrnog nitrata kod 20°C

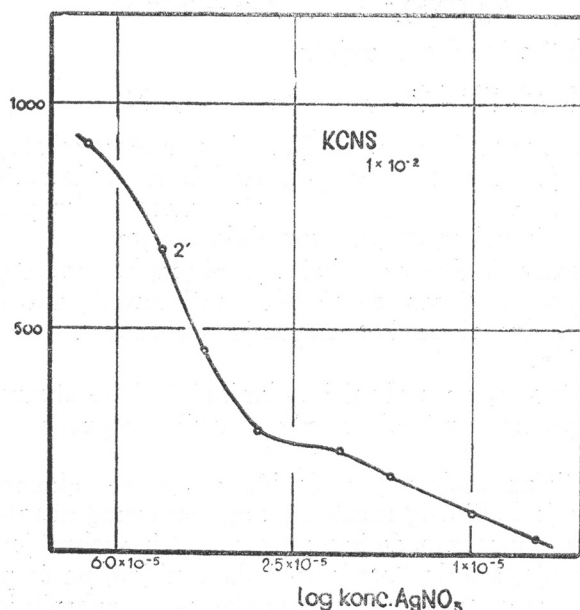
AgCNS mol/l	AgNO ₃	AgCNS mol/l	AgNO ₃
0.00070	1.020	0.00015	0.550
0.00050	0.912	0.00010	0.470
0.00035	0.804	0.000075	0.354
0.00025	0.640	0.000050	0.301

Točnost mjerena

Ekstrapolaciona metoda dozvoljava nam brže i jednostavnije određivanje granice kompleksna topivost-kruta faza od ostalih metoda, koje se osnivaju na tindalovom fenomenu. Kod postepenog traženja te granice točnost rezultata dana je izrazom

$$\frac{c_1 + c_{II}}{2} \pm \frac{c_1 - c_{II}}{2}$$

gdje je c_1 koncentracija komponente u suvišku, kod koje još imamo taloženje, a c_{II} koncentracija te komponente, kod koje



Sl. 6. Relativne mutnoće u zelenom svijetlu u ovisnosti o logaritmu koncentracije srebrnog nitrata u 2 minute, koncentracija kalijevog rodanida $1 \cdot 10^{-2}$ mol/l.

Fig. 6. Relative turbidity in green light in relation to the logarithm of concentration of silver nitrate after 2 minutes. Concentration of potassium sulphocyanide: $1 \cdot 10^{-2}$ M/litre

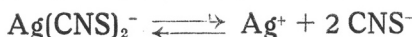
dolazi do potpunog otapanja taloga. Kod naših određivanja možemo uzeti kao prosječnu pogrešku 2—3% od dobivenih rezultata.

Metoda ekstrapolacije nije međutim primjenljiva kod niskih koncentracija taložnih komponenata, jer je prelaz iz područja taloženja u područje stvaranja kompleksa postepen, kako se to vidi na slici 6.

DISKUSIJA

Općenito se uzima, da u slučaju kada srebrni ion ulazi u komplekse s halogenim jonima ili s rodanidnim i cijanidnim jonom, nastaju definirani kompleksi tipa AgCl_2^{-} ⁴⁾, Ag_2J^{+1} ⁵⁾, $\text{Ag}(\text{CNS})_2^{-}$ ⁶⁾, $\text{Ag}(\text{CN})_4^{3-}$ ⁶⁾ i t. d.

Rezultati, koje smo dobili, ne mogu se interpretirati, ako pretpostavimo stvaranje jednog kompleksnog jona n. pr. $\text{Ag}(\text{CNS})_2$. Kako kompleksni ion disocira, mora postojati ravnoteža između slobodnih jona i jona vezanih unutar kompleksa. Ako uzmemo na pr. kompleksni ion $\text{Ag}(\text{CNS})_2^{-}$ imali bismo ravnotežu



gdje mora biti udovoljeno uvjetu

$$(\text{Ag}^{+}) \cdot (\text{CNS}^{-})^2 \cdot f_{\text{Ag}} + f^2_{\text{CNS}^{-}} < 1,6 \times 10^{-11}$$

Gornjem bi uvjetu bilo udovoljeno i u našem slučaju, ako uzmemo da je vrijednost faktora aktiviteta rodanidnih jona mnogo manja od tečetske. Isti slučaj imamo, ako pretpostavimo formiranje nekog drugog kompleksnog jona.

Analiziramo li dobivene krivulje »kompleksne« topljivosti (sl. 3 i sl. 5) vidjet ćemo, da su one kontinuirane, ako uzmemo za koordinate logaritme koncentracija srebrnog nitrata i kalijevog rodanida.

Vjerovatno je, da srebrni i rodanidni joni ne stvaraju definirane komplekse, već čitav niz jonskih grupacija kinetičke prirode.

Ista količina srebrnog rodanida može se »kompleksno« otopiti u manje kalijevog rodanida, nego srebrnog nitrata. To je razumljivo, ako uzmemo, da je u prvom slučaju srebrni ion centar jonske grupacije, a u drugom je to rodanidni ion, pa će postojati veća sterička mogućnost nagomilavanja malih srebrnih jona oko većeg rodanidnog nego obrnuto.

⁴⁾ A. Pincus et Mlle A. M. Timmermans, Bull. Soc. Chim. Belg., 46, 67 (1937).

⁵⁾ Bassett H. and Corbett A. S., J. Chem. Soc., 125, 1672 (1924).

⁶⁾ Landolt-Bernstein, Physikalisch-chemische Tabellen, 5 Aufl., s. 632

Topljivost srebrnog rodanida u vodenim otopinama kalijevog rodanida nešto je veća od topljivosti srebrnog jodida u vodenim otopinama kalijevog joda⁷⁾), a znatno veća od topljivosti srebrnog bromida u vodenim otopinama kalijevog bromida⁸⁾ i srebrnog klorida u vodenim otopinama kalijevog klorida⁹⁾. Topljivost u ovom slučaju raste u smjeru



Takav red topljivosti u odgovarajućim vodenim otopinama kalijevih soli ima se pripisati osim prostom elektrostatskom privlačenju i drugim faktorima, koji su povezani s jonskom veličinom, koja također raste u gornjem smjeru, a to su polarizacija⁹⁾, hidratacija, sterički i kinetički utjecaji. Kod komplikiranijih jona tipa CNS^- i CN^- moramo u obzir uzeti još djelovanje permanentnog dipola, koji je uzrokovan njihovim oblikom.

LABORATORIJ ZA FIZIČKU KEMIJU
PRIRODOSLOVNO-MATEMATIČKI FAKULTET
ZAGREB

Primljeno 15. veljače 1950

A B S T R A C T

Methorics of the Precipitation Processes. III.
The »Complex« Solubility of Silver Sulphocyanide in Aqueous Solutions
of Potassium Sulphocyanide and Silver Nitrate

by

V. Stubičan and B. Težak

The solubility of the silver sulphocyanide in aqueous solutions of potassium sulphocyanide and silver nitrate for concentrations of $0,1 \text{ M/litre}$ to $6,5 \cdot 10^{-6} \text{ M/litre}$ for the silver sulphocyanide in the first case, and for concentrations of $7 \cdot 10^{-4} \text{ M/litre}$ to $5,0 \cdot 10^{-5} \text{ M/litre}$ for the silver sulphocyanide in the second case, was determined by means of a Püfrich photometer combined with a Zeiss nephelometer. All determinations were made at 20°C .

There is a considerable fall in relative turbidity at the boundary between the systems containing the solid phase and the region of the »complex« solubility. We have therefore been able to obtain the critical concentration of the dissolving ion by extrapolating the relative turbidity to the zero value. The results obtained in this way agree with those of other authors, which have been obtained by other experimental procedures.

Analyzing the results on the basis of the conditions for a chemical equilibrium and from the shape of the obtained curves we were able to interpret the results only if a formation of ion clusters was supposed, containing the silver and sulphocyanide ions in different ionic ratios.

⁷⁾ K. Schulz, neobjavljeni rezultati.

⁸⁾ V. Vouk, neobjavljeni rezultati.

⁹⁾ K. Fajans, Z. Krist., 66, 321 (1928).

It has also been shown that silver sulphocyanide is much more soluble in aqueous solution of potassium sulphocyanide than it is in aqueous solutions of silver nitrate.

Silver sulphocyanide is somewhat easier soluble in aqueous solutions of potassium sulphocyanide than is the case with silver iodide in aqueous solutions of potassium iodide, and much more soluble than silver bromide in aqueous solutions of potassium bromide and of silver chloride in aqueous solutions of potassium chloride. The solubility thus increases $\text{Cl}^- < \text{Br}^- < \text{I}^- < \text{CNS}^-$.

LABORATORY OF PHYSICAL CHEMISTRY

WITH THE FACULTY OF SCIENCE

TO ZAGREB (CROATIA) [Received, February 15, 1950]